

# Gogny型相互作用が示唆する hard core と spin-isospin property の関係

@ RCNP (Mar. 22–24, 2004)

Collaborator: M. Sato (Chiba U, 就職間近)

結局のところ定性的なお話です。定量的にはまだこれから。  
(佐藤君の跡継ぎがないのが辛いが…)

## 今までのおさらい

★ 我々がやってきたこと — 「核構造を global に記述するのに適した有効相互作用を考え直す」

“global に” … 広い mass region (matter も含む)  
安定核 & 不安定核

→ 平均場近似

(I) M3Y 型相互作用 … “semi-microscopic” int.

Ref.: H. N., P. R. C68, 014316 ('03)

N. P. A722, 117c ('03)

Proc. of NENS03 (to be published)

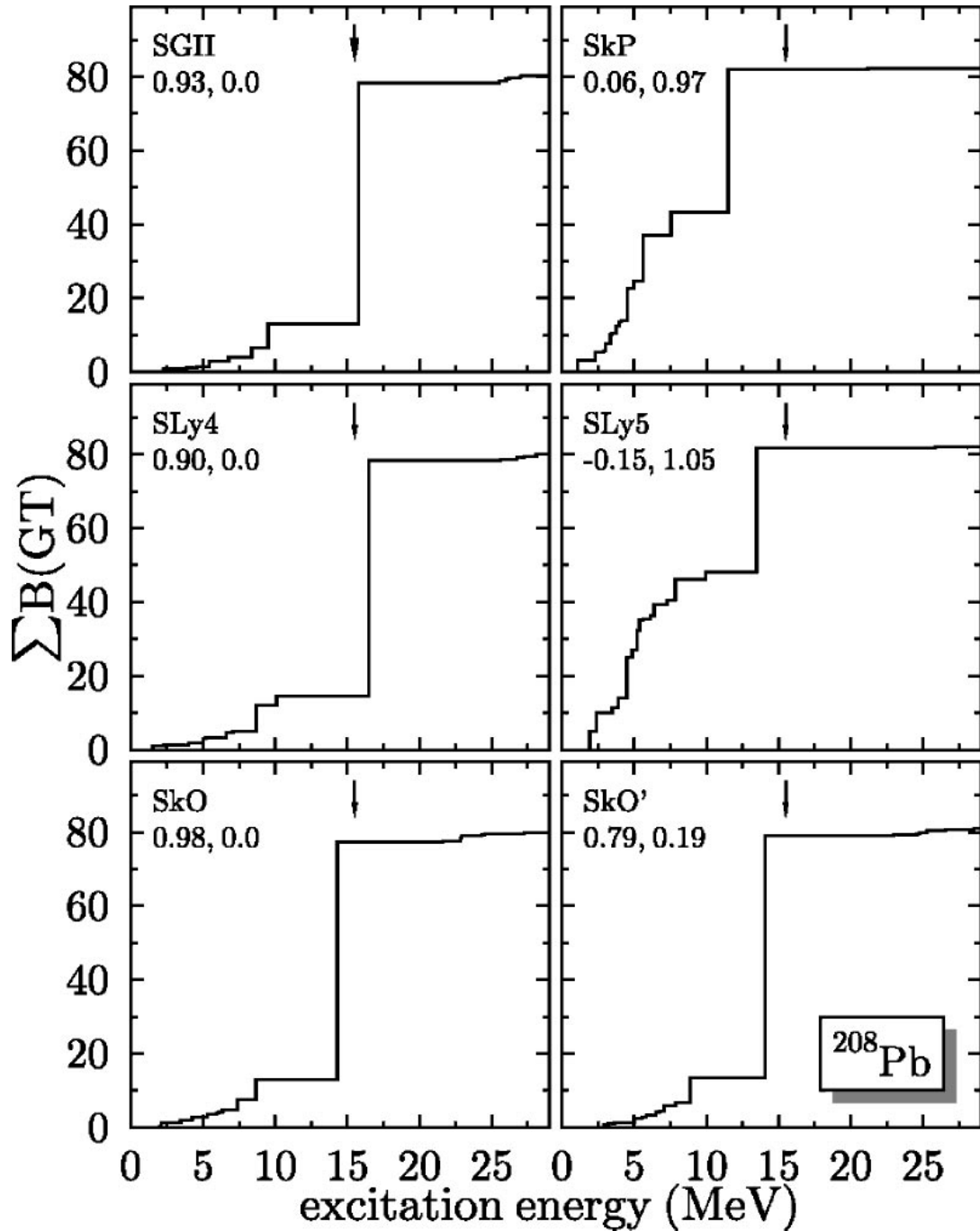
- $G$ -matrix → M3Y → 現象論的修正 *e.g.* saturation, LS-splitting
- OPEP の central part を keep cf.  $\chi$ PT
- 今までの現象論的有効相互作用 (Skyrme, Gogny)  
— spin & spin-isospin property に問題あり ( $\cdots g_\ell, g'_\ell$ )

	SkM*	SLy5	D1S	M3Y-P2
$g_0$	0.33	1.123	0.466	0.113
$g_1$	0.0	0.253	-0.184	0.273
$g'_0$	0.94	-0.141	0.631	1.006
$g'_1$	0.0	1.043	0.610	0.202

- Spin-isospin property — OPEP の効果が非常に重要  
 $\leftrightarrow$  new magic numbers? cf. Otsuka et al.

$g'_0, g'_1$  in Skyrme int. &  $\sigma\tau$  excitation ( $E_{\text{GTR}}$ ):

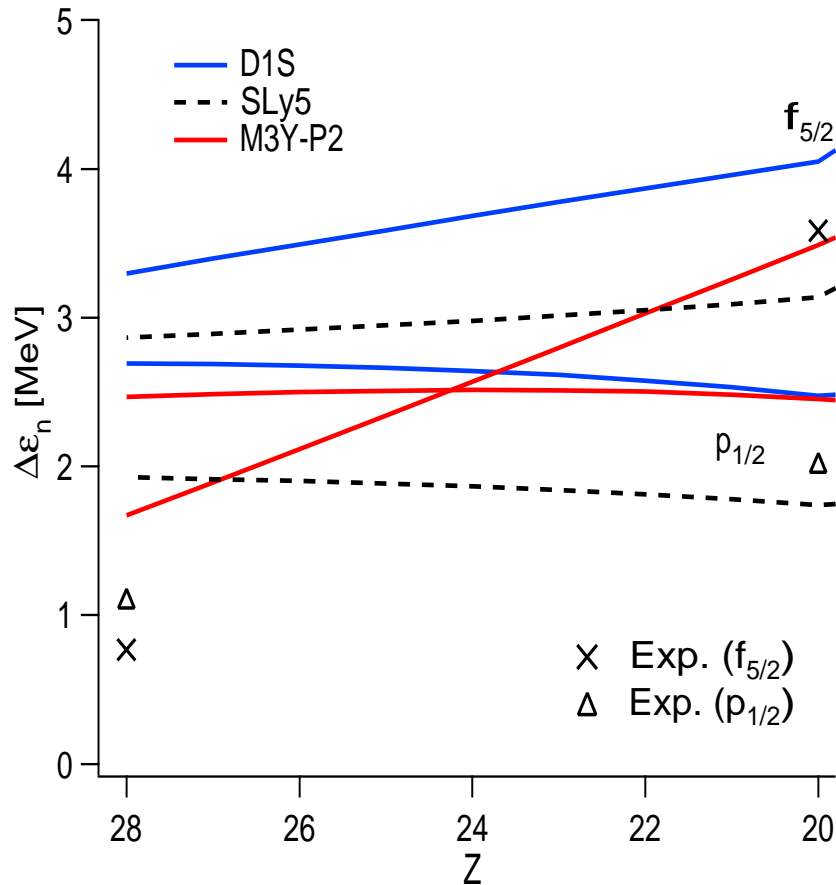
M. Bender *et. al.*, PRC65, 054322



→ reasonable value:  $g'_0 \approx 1$

## S.p. levels of $N = 32$ nuclei

Z-dep. of  $\Delta\varepsilon_n$ :  $\varepsilon_n(0f_{5/2})$ ,  $\varepsilon_n(1p_{1/2})$  relative to  $\varepsilon_n(1p_{3/2})$



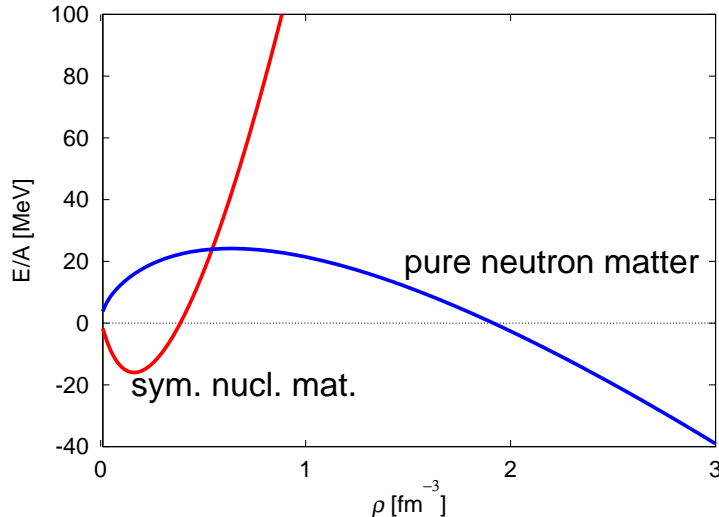
- $Z$ -dep. of  $\Delta\varepsilon_n(0f_{5/2}) \rightarrow N = 32$  magicity at  $Z \sim 20$ ?
- M3Y-P2 ... reproduce inversion of  $0f_{5/2}$  &  $1p_{1/2}$ !  
(without core-pol.)

## (II) Gogny 型相互作用 … phenomenological int.

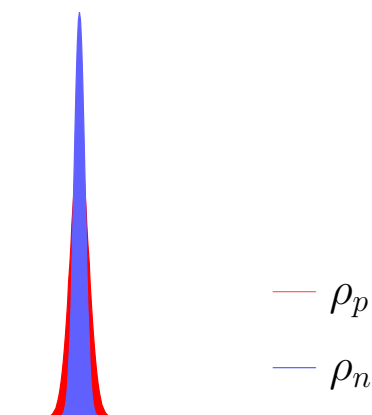
M. Sato & H. N., many talks (JPS meetings, etc.)

- 従来の parameter (e.g. D1S) → unphysical true minimum

$n$ -matter の collapse ( $\rho \rightarrow \infty \Rightarrow E/A \rightarrow -\infty$ )



→ finite nuclei



(→ physical solution の不安定性)

- 改善方法の模索 — 但し，D1S の長所は全て生かす

$\left\{ \begin{array}{l} \text{Properties of sym. nucl. matter (\& surface energy)} \\ \text{Symmetry energy} \\ \text{Pairing properties} \end{array} \right.$

基本方針：SE part に  $\rho$ -dependent repulsion を入れる

← hard core の影響

- 本日のテーマ — 我々が提唱してきた改善方法と  
spin-isospin property の関係?  
「現象論的立場から見て、  
spin-isospin property の再現に重要なことは？」

## Interactions :

$$\begin{aligned}
v_{12} &= v_{12}^{\text{C}} + v_{12}^{\text{LS}} + v_{12}^{\text{TN}} + v_{12}^{\text{DD}} ; \\
v_{12}^{\text{C}} &= \sum_n (t_n^{\text{SE}} P_{\text{SE}} + t_n^{\text{TE}} P_{\text{TE}} + t_n^{\text{SO}} P_{\text{SO}} + t_n^{\text{TO}} P_{\text{TO}}) f_n^{\text{C}}(r_{12}) , \\
v_{12}^{\text{LS}} &= \sum_n (t_n^{\text{LSE}} P_{\text{TE}} + t_n^{\text{LSO}} P_{\text{TO}}) f_n^{\text{LS}}(r_{12}) \mathbf{L}_{12} \cdot (\mathbf{s}_1 + \mathbf{s}_2) , \\
v_{12}^{\text{TN}} &= \sum_n (t_n^{\text{TNE}} P_{\text{TE}} + t_n^{\text{TNO}} P_{\text{TO}}) f_n^{\text{TN}}(r_{12}) r_{12}^2 S_{12} , \\
v_{12}^{\text{DD}} &= t^{\text{DD}} (1 + x^{\text{DD}} P_\sigma) [\rho(\mathbf{r}_1)]^\alpha \delta(\mathbf{r}_{12}) .
\end{aligned}$$

- Skyrme interaction —  $f_n(r_{12}) = \delta(\mathbf{r}_{12})$ ,  $\nabla^2 \delta(\mathbf{r}_{12})$
- Gogny interaction —  $f_n^{\text{C}}(r_{12}) = e^{-(\mu_n r_{12})^2}$ ,  $f_n^{\text{LS}}(r_{12}) = \nabla^2 \delta(\mathbf{r}_{12})$   
‘D1S’ … the only parameter-set widely applied  
in recent calculations

以下では，D1Sを中心<sup>に</sup>に問題点と改善方法を議論する

- M3Y-type interaction —  $f_n(r_{12}) = e^{-\mu_n r_{12}} / \mu_n r_{12}$

Nuclear matter properties  $\leftrightarrow$  Basic characters of eff. int. (central part)  
 $v_{12}^{\text{C}} + v_{12}^{\text{DD}}$

$$\mathcal{E} \equiv E/A ; \quad \mathcal{E} = \mathcal{E}(\rho, \eta_t, \eta_s, \eta_{st})$$

$$\begin{aligned}
\rho &= \sum_{\sigma\tau} \rho_{\tau\sigma} = \rho_{p\uparrow} + \rho_{p\downarrow} + \rho_{n\uparrow} + \rho_{n\downarrow} , \\
\eta_s &= \left( \sum_{\sigma\tau} \sigma \rho_{\tau\sigma} \right) / \rho = \frac{\rho_{p\uparrow} - \rho_{p\downarrow} + \rho_{n\uparrow} - \rho_{n\downarrow}}{\rho} , \\
\eta_t &= \left( \sum_{\sigma\tau} \tau \rho_{\tau\sigma} \right) / \rho = \frac{\rho_{p\uparrow} + \rho_{p\downarrow} - \rho_{n\uparrow} - \rho_{n\downarrow}}{\rho} , \\
\eta_{st} &= \left( \sum_{\sigma\tau} \sigma \tau \rho_{\tau\sigma} \right) / \rho = \frac{\rho_{p\uparrow} - \rho_{p\downarrow} - \rho_{n\uparrow} + \rho_{n\downarrow}}{\rho} .
\end{aligned}$$

## Saturation

$$\frac{\partial}{\partial \eta_t} \mathcal{E} = \frac{\partial}{\partial \eta_s} \mathcal{E} = \frac{\partial}{\partial \eta_{st}} \mathcal{E} = 0 \quad \rightarrow \quad \eta_t = \eta_s = \eta_{st} = 0$$

(spin-saturated) sym. nucl. matter

$$\left. \frac{\partial}{\partial \rho} \mathcal{E} \right|_{\text{sat.}} = 0 \quad \rightarrow \quad \rho_0 (\leftrightarrow k_{F0}), \quad \mathcal{E}_0 (= b_{\text{vol}})$$

Landau parameters (around the saturation point)

$$v_{12}^C + v_{12}^{\text{DD}} \approx N_0 \left[ f_{\mathbf{k}_1 \mathbf{k}_2} + f'_{\mathbf{k}_1 \mathbf{k}_2} (\boldsymbol{\tau}_1 \cdot \boldsymbol{\tau}_2) + g_{\mathbf{k}_1 \mathbf{k}_2} (\boldsymbol{\sigma}_1 \cdot \boldsymbol{\sigma}_2) + g'_{\mathbf{k}_1 \mathbf{k}_2} (\boldsymbol{\sigma}_1 \cdot \boldsymbol{\sigma}_2) (\boldsymbol{\tau}_1 \cdot \boldsymbol{\tau}_2) \right]$$

(N<sub>0</sub>: level density at the Fermi surface)  
around  $k_1 = k_2 = k_{F0}$ , including exchange terms

$$f_{\mathbf{k}_1 \mathbf{k}_2} \propto \frac{\delta^2(\langle V \rangle / \Omega)}{\delta n(\mathbf{k}_1) \delta n(\mathbf{k}_2)}, \quad \text{etc.} \quad (n(\mathbf{k}) : \text{occ. prob. of s.p. states})$$

$$\rightarrow f_\ell = \int_{-1}^1 d(\cos \theta_{12}) f_{\mathbf{k}_1 \mathbf{k}_2} P_\ell(\cos \theta_{12}), \quad \text{etc.} \quad (\cos \theta_{12} \equiv \hat{\mathbf{k}}_1 \cdot \hat{\mathbf{k}}_2)$$

$$\frac{M_0^*}{M} = 1 + \frac{1}{3} f_1, \quad \mathcal{K} \equiv 9 \left. \frac{\partial^2}{\partial \rho^2} \mathcal{E} \right|_{\text{sat.}} = \frac{3k_{F0}^2}{M_0^*} (1 + f_0),$$

$$a_t \equiv \frac{1}{2} \left. \frac{\partial^2}{\partial \eta_t^2} \mathcal{E} \right|_{\text{sat.}} = \frac{k_{F0}^2}{6M_0^*} (1 + f'_0), \quad (\cdots \text{ symmetry energy})$$

$$a_s \equiv \frac{1}{2} \left. \frac{\partial^2}{\partial \eta_s^2} \mathcal{E} \right|_{\text{sat.}} = \frac{k_{F0}^2}{6M_0^*} (1 + g_0),$$

$$a_{st} \equiv \frac{1}{2} \left. \frac{\partial^2}{\partial \eta_{st}^2} \mathcal{E} \right|_{\text{sat.}} = \frac{k_{F0}^2}{6M_0^*} (1 + g'_0).$$

「現象論的に有効相互作用を決める」— parameters vs. 実験的情報

特に，Gogny D1S の parameter を変更するまでの自由度？  
(但し int. の range は fix)

★ Symmetric nuclear matter … On the  $\eta_s = \eta_t = \eta_{st} = 0$  line

Interaction parameters:

$$\begin{aligned}\mathcal{E}(\rho, \eta = 0) &= \left( \sum_n c_n \left[ \frac{3}{4}(t_n^{\text{SE}} + t_n^{\text{TE}}) + \frac{1}{4}(t_n^{\text{SO}} + 9t_n^{\text{TO}}) \right] \right) \rho \\ &\quad + \sum_n c_n \left[ \frac{3}{4}(t_n^{\text{SE}} + t_n^{\text{TE}}) - \frac{1}{4}(t_n^{\text{SO}} + 9t_n^{\text{TO}}) \right] \mathcal{W}_n(\rho) \\ &\quad + t^{\text{DD}} \rho^{1+\alpha}\end{aligned}$$

$\mathcal{W}_n(\rho)$ : appropriate function of  $\rho$

Gogny … 2 ranges for  $v_{12}^C \rightarrow$  5 parameters (including  $\alpha$ )

Note: Skyrme, M3Y … 実質的に 2 range

実験的情報:

- Saturation  $\rho_0$  &  $\mathcal{E}_0$  ( $\rightarrow v_{12}^{\text{DD}}$  の必要性)  
 $\rho_0 \approx 0.16 \text{ fm}^{-3}$  ← density dist. & radius  
 $\mathcal{E}_0 \approx 16 \text{ MeV}$  ← binding energy

of  $Z \sim N$  finite nuclei

- Effective mass ( $k$ -mass)  $M_0^*$  ( $\leftrightarrow f_1$ )  
 $M_0^* \approx 0.7M$  ← s.p. level spacing for  $|\varepsilon - \varepsilon_F| \gtrsim 20 \text{ MeV}$
- Incompressibility  $\mathcal{K}$  ( $\leftrightarrow f_0$ )  
 $\mathcal{K} \approx 210 \text{ MeV}$  (in non-rel. models) ←  $E_x$  of GMR
- Surface energy  $b_{\text{surf}}$  Note:  $v^{\text{LS}}$  の寄与アリ  
 $b_{\text{surf}} \approx 20 \text{ MeV}$  ← mass, fission barrier (in Gogny D1S)

… 5つの物理量

$\Rightarrow$  D1S の与える sym. nucl. matter の性質はほぼ変えられない

★ (Volume) symmetry energy  $a_t$  ( $\leftrightarrow f'_0$ )

$a_t \approx 30 \text{ MeV} \leftarrow \text{binding energy of } Z < N \text{ nuclei}$

Note:  $f'_0 \sim v_{nn} - \frac{1}{4}(v_{pp} + v_{nn} + 2v_{pn}) \sim v_{T=1} - v_{T=0}$   
 $\sim (v^{\text{SE}} + v^{\text{TO}}) - (v^{\text{TE}} + v^{\text{SO}})$

★ Pairing properties  $\leftrightarrow v^{\text{SE}}$  for  $\rho < \rho_0$  region

Matter では , 例えば  $\Delta(\varepsilon_F)$  の peak の位置 & 値で characterize

Gogny D1S の pairing property はとても評判がよい

( $\leftrightarrow$  int. range?)

---

従来の有効相互作用において , あまり省みられていないこと  
特に , D1S の問題点

★ Neutron matter の安定性

$$\mathcal{E}(\rho, \eta_t = -1) \sim v^{\text{SE}} + v^{\text{TO}}$$

なぜ不安定性が現れるか? —  $v^{\text{SE}}$  に  $\rho$ -dep. がない or 弱い

$$\left. \begin{array}{ll} v^{\text{SE}} < 0 & \text{for low } \rho \\ v^{\text{SE}} > 0 & \text{for high } \rho \quad (\leftarrow \text{hard core}) \end{array} \right\} \text{であるべき}$$

D1S では …

$$\text{no } \rho\text{-dep. in } v^{\text{SE}} \quad (\because x^{\text{DD}} = 1)$$

$$\text{Note: } v^{\text{TO}} \sim 0$$

★ Spin-isospin flip に対する安定度  $g'_0$

$$g'_0 \approx 1 \leftarrow E_x \text{ of GTR}$$

D1S では …  $g'_0 \approx 0.6$  — fit のさい考慮されていないから

$$\text{Note: "}v^{\text{SE}}\text{"} \leftarrow v^{\text{C}} + v^{\text{DD}}$$

D1S を変更するための我々の(今までの)方針 — 定性的議論のために

$v^C + v^{DD}$  の parameter: 11 個 (int. range は fix)

- $\mathcal{E}(\rho, \eta = 0)$  (sym. nucl. matter の energy profile) を全く変えない  
→ 5 constraints

- $a_t$  を変えない → 1 constraint

- $\Delta(\varepsilon_F)$  の profile をほとんど変えない → 2 constraints  
( $\because$  peak の位置と値)

⇒ D1S の長所を keep(と期待)

Note: 実際は有限核の計算で確かめるべき

- $v^{SE}$  に  $\rho$ -dependence を入れる ( $\leftarrow$  hard core の影響)

…  $x^{DD}$  を 1 からずらす → Neutron matter の不安定性を除く

$\rho \rightarrow \infty$  limit の振舞い →  $x^{DD} < 1$  であるべき

Unphysical min. を持たない →  $x^{DD} \leq 0.94$  であるべき

- Additional constraint 1 個

$\mathcal{E}(\rho, \eta = 0)$  中の  $v^{SE}$  の変化を  $v^{TE}$  で compensate させる

便宜上?

有限核で even と odd の効き方は結構違う

→ reasonable であろう

cf.  $\alpha$  ( $\sim (0s)^4$  とすれば) …  $v^{SE} + v^{TE}$  しか効かない

⇒ Free parameters:  $x^{DD}$  & 残りの 1 つ (ほとんど影響なし)

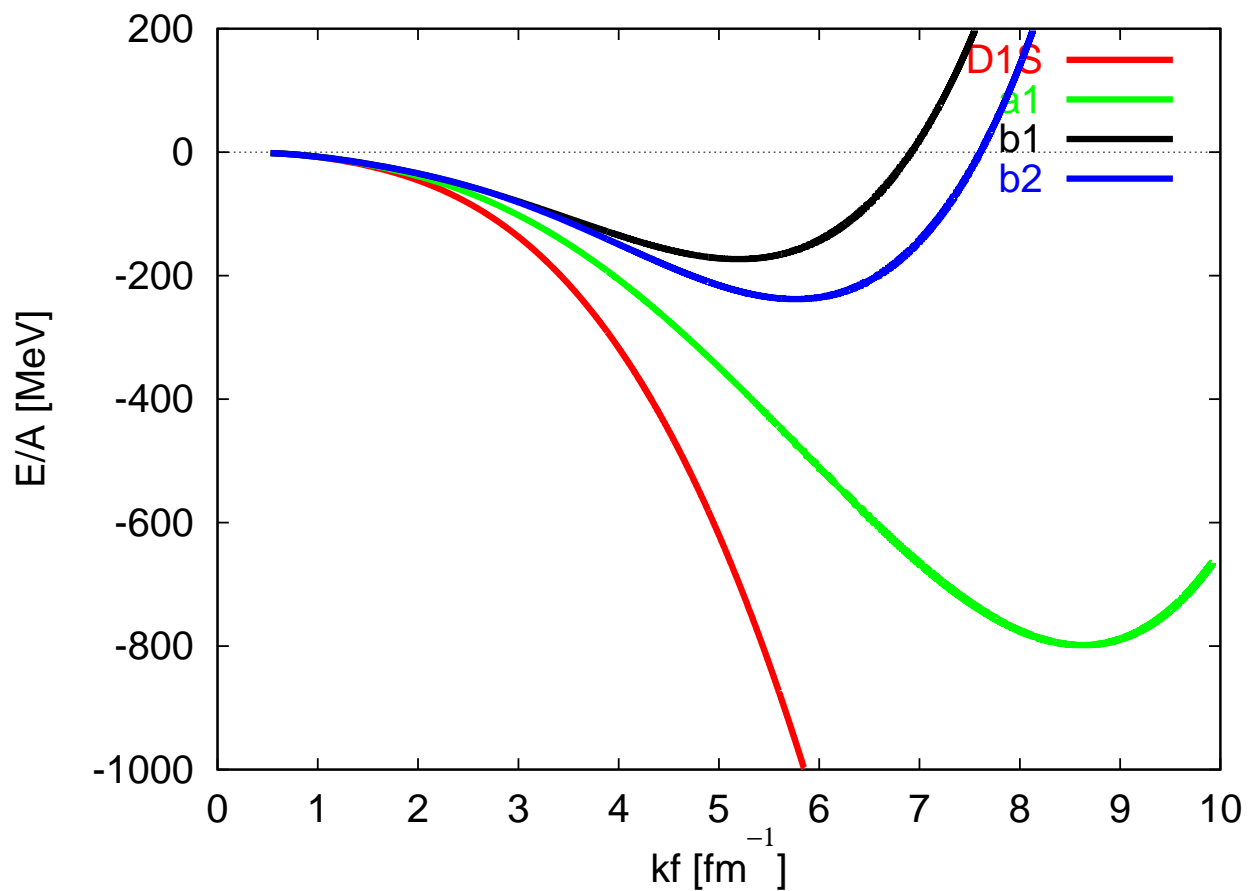
‘a1’ …  $x^{DD} = 0.94$

‘b1’ …  $x^{DD} = 0.90$

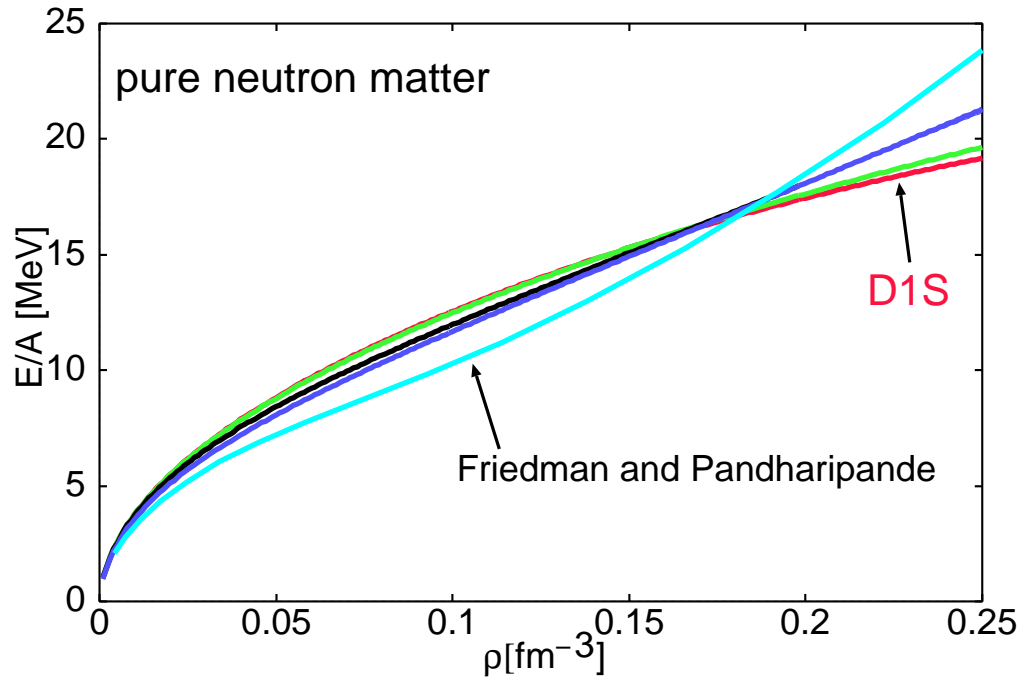
‘b2’ …  $x^{DD} = 0.90$ ,  $\Delta(\varepsilon_F)$  が少し異なる

(本当はもっとを変えたいが, これでも定性的議論は可能)

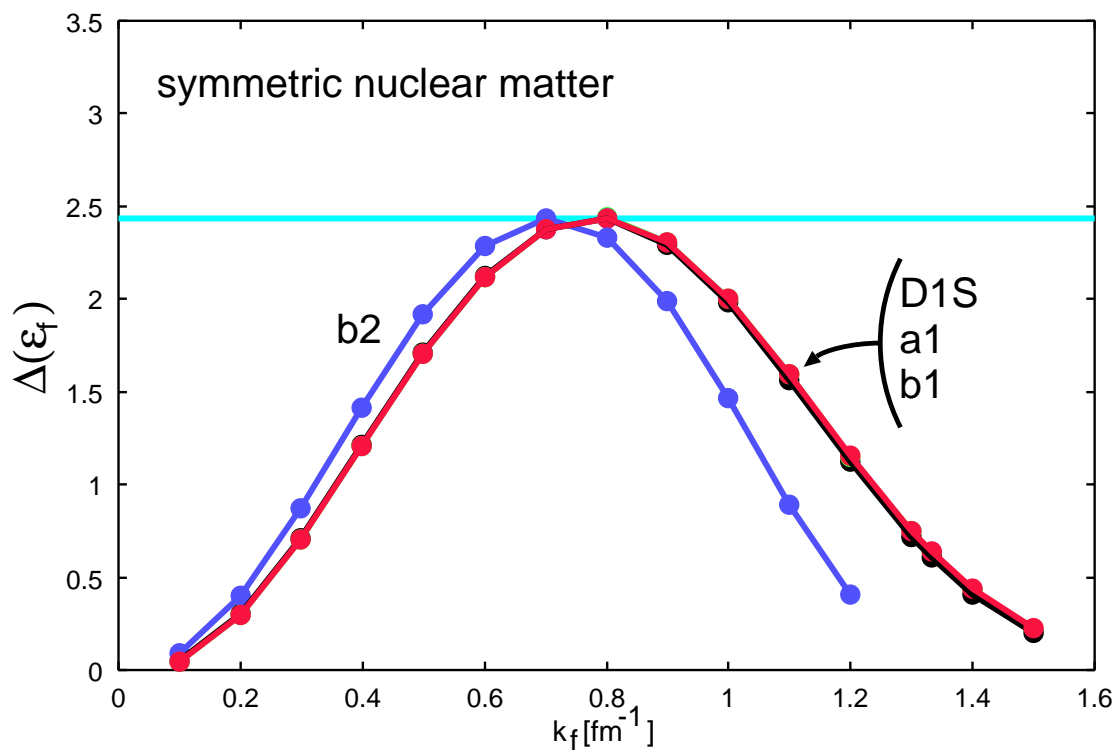
## Behavior of $v^{\text{SE}}$ in nucl. matter



## Neutron matter profile



## Pairing gap profile



$v^{\text{SE}}$  の  $\rho$ -dep. ( $\leftarrow$  hard core) が  $g'$  にどう影響するか?

parameter	$x^{\text{DD}}$	$g_0$	$g_1$	$g'_0$	$g'_1$
D1S	1.00	0.466	-0.184	0.631	0.610
a1	0.94	0.263	-0.143	0.699	0.583
b1	0.90	0.140	-0.227	0.740	0.641
b2	0.90	0.143	-0.126	0.739	0.642
	:				
M3Y-P2	0.73	0.113	0.273	1.006	0.202

Note:  $x^{\text{DD}} \leftrightarrow v^{\text{SE}}$  の  $\rho$ -dep.

ポイントの整理 …

- (1)  $\mathcal{E}(\rho, \eta = 0)$  (2)  $a_t$  (3) pairing を押さえている  
 ⇐ 現象論的立場からの要請
- (4)  $\rho$ -dep. (or hard core)  $\rightarrow v^{\text{SE}}$  に high  $\rho$  で効く斥力成分を加えた
- $\rho < \rho_0$  で pairing property を回復するため,  
 $v^{\text{SE}}$  の  $\rho$ -indep. な引力により (4) の斥力を compensate しても  
 $\rho = \rho_0$  では  $v^{\text{SE}}$  の引力は弱くなる
- (1-3) のため,  $v^{\text{TE}}$ ,  $v^{\text{SO}}$ ,  $v^{\text{TO}}$  も変化  
 e.g.  $v^{\text{TE}}$ : より引力的,  $v^{\text{TO}}$ : 斥力的 ( $\because a_t$ ) at  $\rho = \rho_0$

channel	$v^{\text{SE}} \uparrow$	$v^{\text{TE}} \downarrow$	$v^{\text{TO}} \downarrow$	$v^{\text{SO}} \uparrow$	total
効き方	3 : 3	1 : 9			
$g_0$	↓	↓	↓	↑	⇒ ↓
$g'_0$	↓	↑	↓	↑	⇒ ↑

## まとめ

★ Gogny int. に  $v^{\text{SE}}$  に  $\rho$ -dependence を入れる (i.e.  $x^{\text{DD}}$  を小さくする)

→ 2つの問題

$\begin{cases} n\text{-matter の不稳定性} \\ \sigma\tau \text{ property} \end{cases}$  を一挙に解決できる可能性

★ より一般に,  $v^{\text{SE}}$  の high  $\rho$  での斥力 ( $\leftarrow$  hard core) の考慮が,  $\sigma\tau$  property に対しても重要と考えられる

( $\because$  現象論的制限の下で correlate する)